

FIG. 1

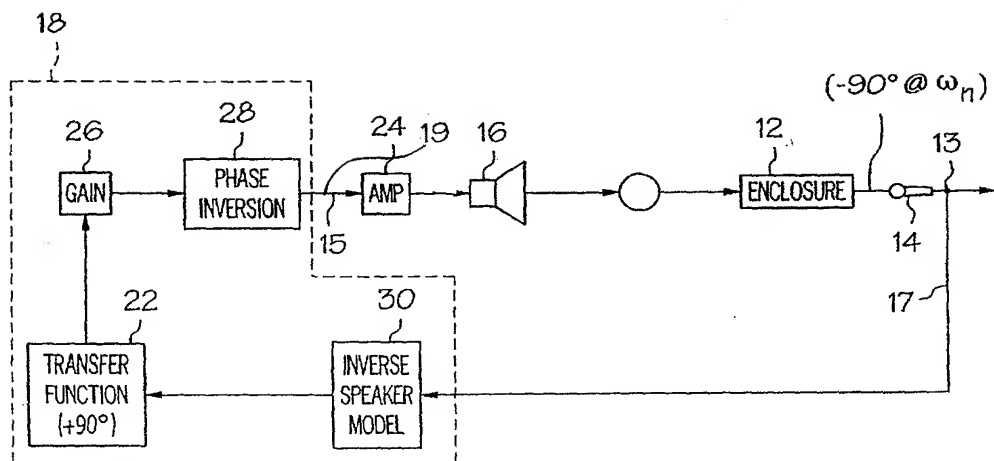


FIG. 4

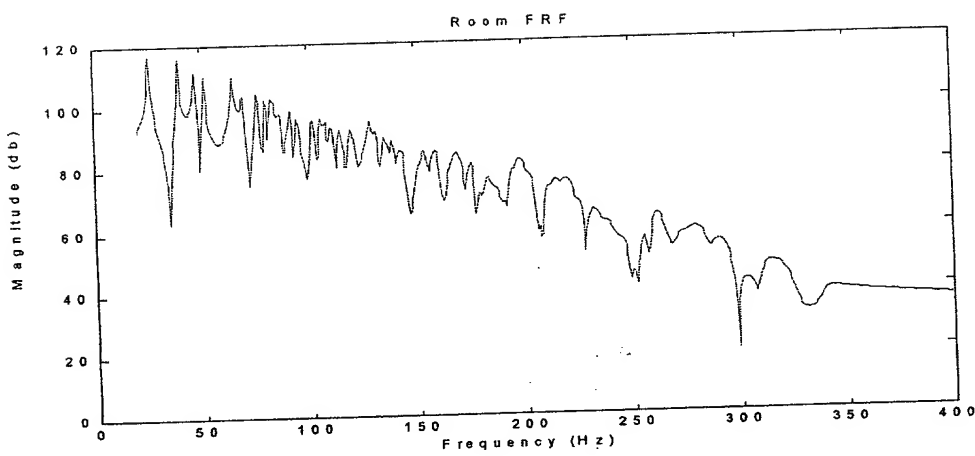


Fig. 2(a)

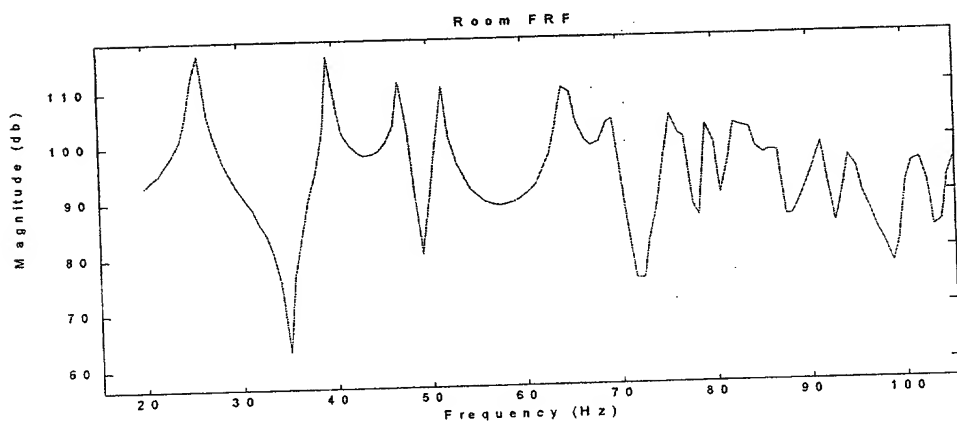
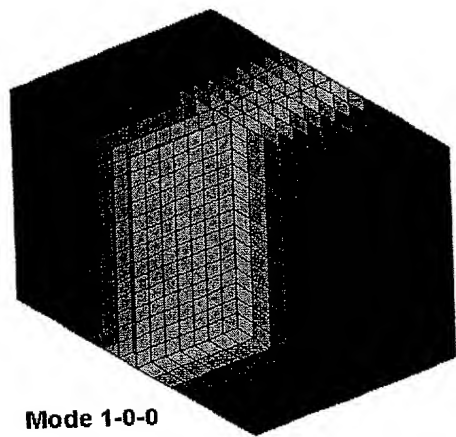
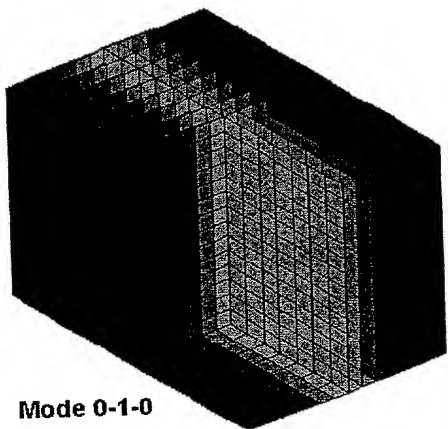


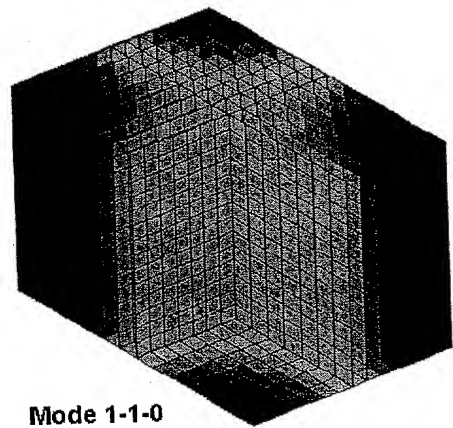
Fig. 2(b)



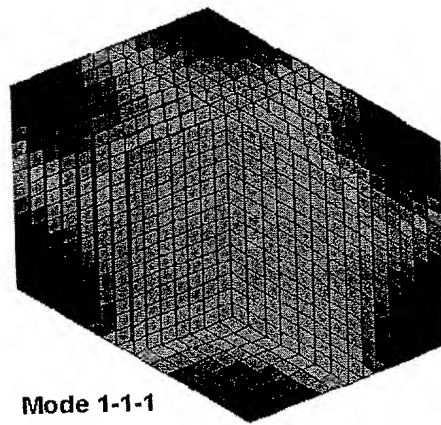
Mode 1-0-0



Mode 0-1-0



Mode 1-1-0



Mode 1-1-1

Fig. 3

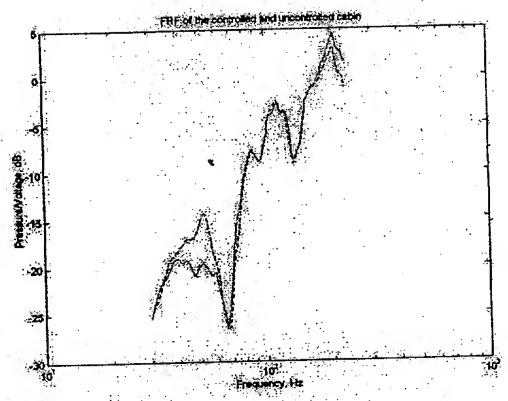


Fig. 5

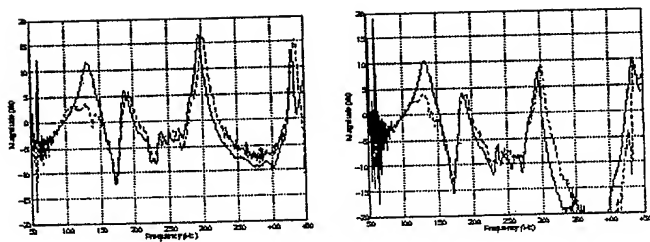


Fig. 6

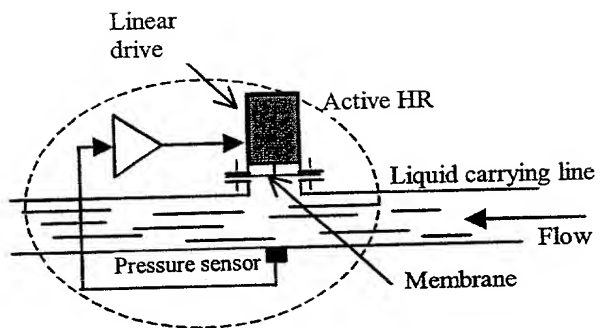


Fig 7

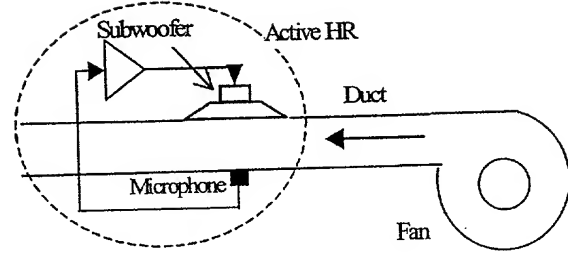


Fig. 8

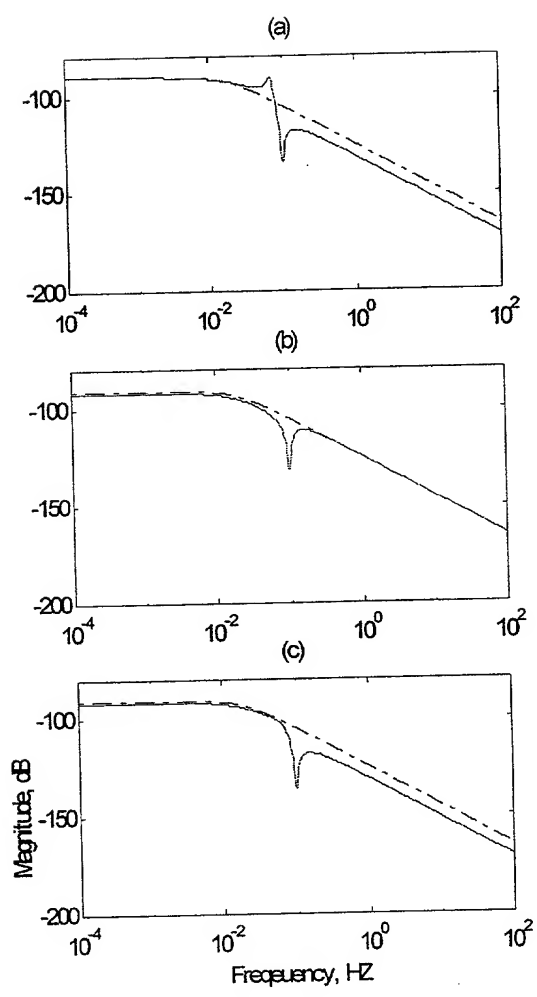


Fig. 9(a) – 9(c)

Wardell, D. C., et al. / Journal of Vibration and Control 13 (2007) 103–118

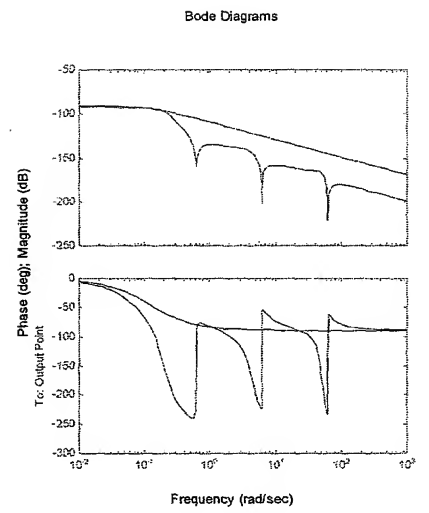


Fig. 10

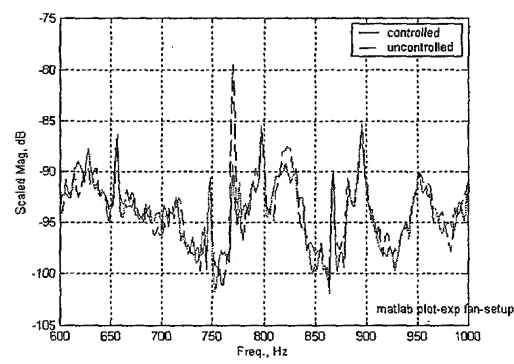


Fig. 11

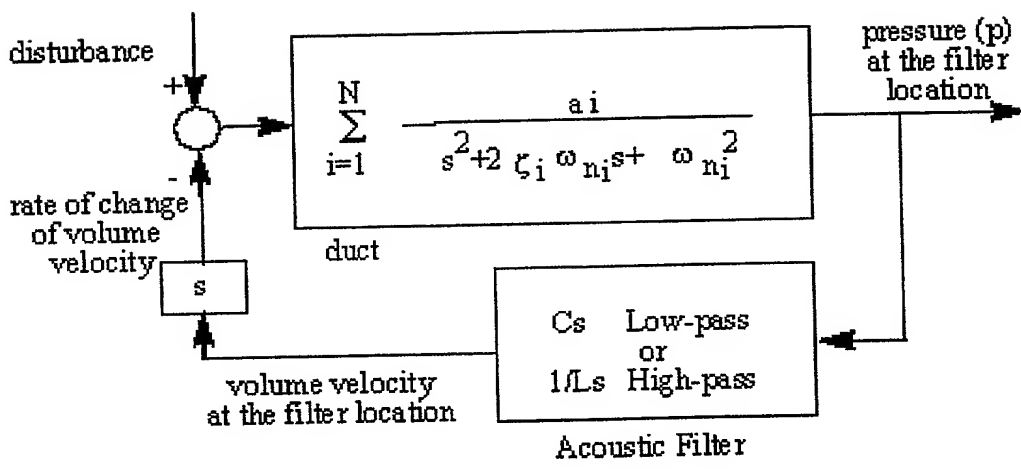


Fig. 12

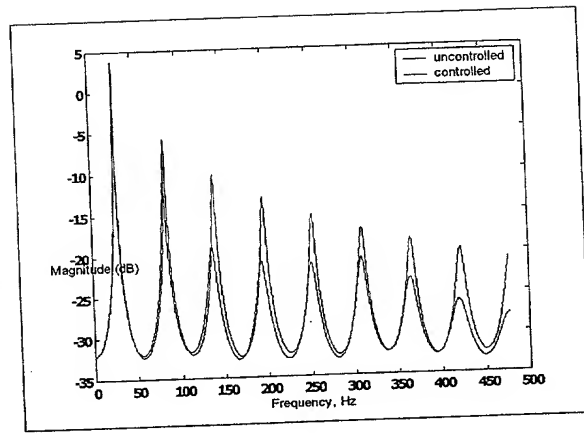


Fig. 13(a)

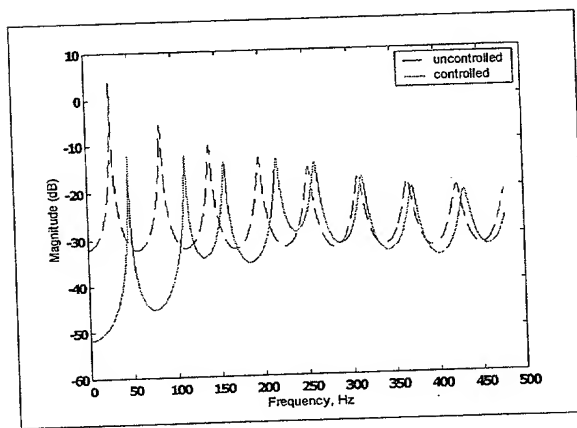


Fig 13(b)